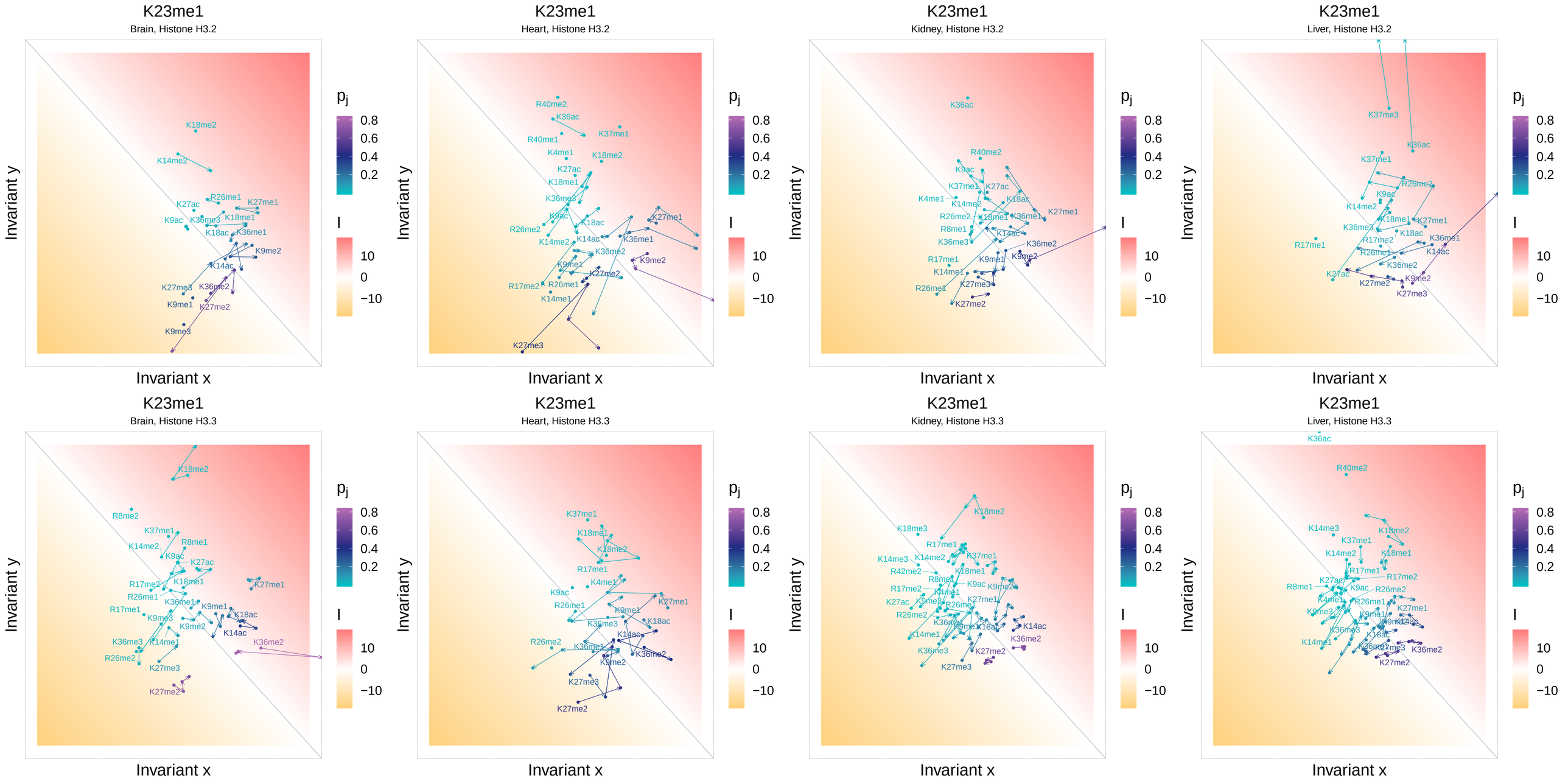
K23me1
Brain, Histone H3.2
K18me2
K14me2
R26me1
K27me1
K27ac
K18me1
K9ac
K36me3
K18ac
K36me1
K9me2
K14ac
K27me3
K36me2
K9me1
K27me2
K9me3
K23me1
Heart, Histone H3.2
R40me2
K36ac
K37me1
R40me1
K4me1
K18me2
K27ac
K18me1
K36me3
K9ac
K18ac
K27me1
R26me2
K14me2
K14ac
K36me1
K36me2
K9me2
K9me1
K27me2
R17me2
R26me1
K14me1
K27me3
K23me1
Kidney, Histone H3.2
K36ac
R40me2
K9ac
K37me1
K27ac
K4me1
K14me2
K18ac
K27me1
R26me2
K18me1
K36me1
R8me1
K14ac
K36me3
K36me2
R17me1
K9me1
K9me2
K14me1
K27me3
R26me1
K27me2
K23me1
Liver, Histone H3.2
K37me3
K36ac
K37me1
R26me2
K9ac
K14me2
K18me1
K27me1
K36me3
K18ac
R17me2
K36me1
R17me1
R26me1
K14ac
K36me2
K27ac
K27me2
K9me2
K27me3
K23me1
Brain, Histone H3.3
K18me2
R8me2
K37me1
R8me1
K14me2
K9ac
K27ac
R17me2
K18me1
K27me1
R26me1
K36me1
K9me1
R17me1
K9me3
K18ac
K9me2
K14ac
K36me3
K14me1
K36me2
R26me2
K27me3
K27me2
K23me1
Heart, Histone H3.3
K37me1
K18me1
K18me2
R17me1
K4me1
K9ac
K27me1
R26me1
K9me1
K18ac
K36me3
K14ac
R26me2
K36me1
K36me2
K9me2
K27me3
K27me2
K23me1
Kidney, Histone H3.3
K18me2
K18me3
R17me1
K14me3
K14me2
K37me1
R42me2
K18me1
R8me1
K9ac
K9me2
R17me2
K4me1
K27ac
K9me3
K27me1
R26me1
R26me2
K36me1
K9me1
K18ac
K14ac
K14me1
K36me2
K36me3
K27me2
K27me3
K23me1
Liver, Histone H3.3
K36ac
R40me2
K14me3
K18me2
K37me1
K14me2
K18me1
R17me1
R17me2
K27ac
R8me1
K9ac
R26me2
K4me1
R26me1
K27me1
K9me3
K9me1
K36me3
K18ac
K14me1
K27me3
K36me2
K27me2
Invariant x
Invariant y
p_j
0.8
0.6
0.4
0.2
I
10
0
−10